

تحضير وتشخيص مركبات لمشتقات الدياثيلوكاربميت واستخدامها كقانصات لبعض العناصر الفلزية الثقيلة في الانظمة البيئية

سلام عبدالباسط عبدالله^{1*}، ايمان عبدالواحد عثمان¹ ، عيد صالح محمد²

1- قسم الكيمياء، كلية التربية، جامعة سامراء (ssmmssmm124@gmail.com)

2- قسم الكيمياء، كلية التربية للبنات، جامعة الانبار (aeedchemistry@gmail.com)

البحث مستقل من رسالة ماجستير الباحث الاول

الخلاصة:

تم التحضير والتشخيص الطيفي لمجموعة من المعقدات الفلزية (II) المستندة إلى ليكائد الدياثيلوكاربميت واستخدام الليكائد كقانص للعناصر الثقيلة في الانظمة البيئية. تم تحضير الليكائد من تفاعل 1,2-((ethane-1,2-')-2,2'-bis (methylene) diphenol diylbis(azanediyl)) مع CS_2 بوجود قاعدة KOH والايثانول مذيبا. تكونت المعقدات الحلقة من تفاعل كلوريدات المعادن المناسبة مع الليكائد في وسط الإيثانول. حيث تم تحديد الشكل الفراغي للمعقدات المكونة حول المراكز الايونية باستخدام مجموعة من التقنيات الطيفية والفيزيائية ومن هذه التقنيات: FTIR ، Mass spect Uv-Vis ، مطيافية الرنين النووي المغناطيسي ^{13}C , $^1\text{H-NMR}$ ، الحساسية المغناطيسية، درجة الانصهار والتوصيلية. اذ كشفت هذه البيانات الطيفية والتحليلية ان ايونات الحديد والكوبالت والزنك قد اخذت الشكل رباعي السطوح اما بالنسبة لمعقدات المنغنيز والنikel والنحاس اخذت الشكل ثماني السطوح، وتم استخدام هذا الليكائد المحضر في ازالة العناصر الثقيلة المسببة للتلوث في المياه.

معلومات البحث:

تاريخ الاستلام: 2020/04/16

تاريخ القبول: 2020/06/15

الكلمات المفتاحية:

ليكائد الدياثيلوكاربميت، المعقدات الفلزية الانتقالية، التشخيص الطيفي، اقتصاص العناصر الثقيلة

المقدمة

الدياثيلوكاربميت هي المركبات التي يتم فيها استبدال ذرات الاوكسجين من الكاربميت بوساطة ذرات الكبريت حيث تتحدد ذرات الكبريت في ليكائد ثنائي الثايووكاربميت مع العناصر الانتقالية بشكل ثانوي السن. حيث تعد مركبات ثنائية الثايووكاربميت عبارة عن روابط مرنّة ولديها القدرة على تكوين معقدات مع غالبية العناصر الانتقالية في حالات الأكسدة المختلفة [1]. تظهر ليكائدات الدياثيلوكاربميت على الاقل بتسعة اشكال تناسقية مختلفة مما يؤدي الى تشكيل مجموعة كبيرة من الاشكال الجزيئية، الاختلافات الهيكيلية لهذه الفئة من المركبات بدأ أساسا نتائج السيطرة على الاستبدال على ذرة التتروجين لمجموعة الدياثيلوكاربميت [2]. أملاح ثنائية الثايووكاربميت يتم اعدادها عن طريق تفاعل ثنائي كبريتيد الكربون مع امينات اولية او ثانوية وبوجود قاعدة قوية [3]. تكونت معقدات الدياثيلوكاربميت عن طريق تفاعل الايونات الفلزية مع ليكائد الثايووكاربميت وبأشكال تناسقية مختلفة كما في هذه المعقدات [4] $[\text{Ni}(\text{S}_2\text{CNiBu}_2)_3 / \text{Fe}(\text{S}_2\text{CNiBu}_2)_2 / \text{Mo}(\text{DTC})_4]$ [5].

لمركبات الدياثيلوكاربميت عدة استخدامات في الجانب البيئي على سبيل المثال تم استخدام مركب dithiocarbamate- starch لامتصاص العناصر الثقيلة (Pb, Cd) المتواجدة في صرف المياه الصناعية المهملة [6] ، اما من الناحية الطيبة فان مشتقات dithiocarbamat-sugar اظهرت نشاطا يماثل نشاط العاقير المضادة لمرض السل [7]. كذلك للبيكائد الدياثيلوكاربميت تطبيقات زراعية، حيث ان مبيدات الفطريات Mancozeb، وهو ethylene-bis-dithiocarbamate مع المنغنيز والزنك هي مبيدات الفطريات النباتية تجاريًّا هي الأكثر شيوعا [8].

المواد وطرائق العمل

المواد الكيميائية

استعملت المواد الكيميائية وهي (اثلين ثلائي امين، سالسليهيد، ايثانول، بروميد الهايدروجين، ميثنول، بوروهيدريد الصوديوم، هيدروكسيد البوتاسيوم، ثلائي كبريتيد الكاربون، ثلائي مثيل سلفوكسيد) من مناشيء عالمية وبدرجة نقاوة عالية.

تحضير قاعدة شف

تم تحضير المركب (2,2'-(1E,1'E)-(ethane-1,2-diylbis(azaneylylidene)) bis (methaneylylidene)) diphenol من خلال اضافة 40 ml Ethanol و 4-3 قطرة من حامض HBr الى 1.78 mL, 16.70 mmol 2-hydroxybenzaldehyde من Ethylene diamine (0.5g, 8.31mmol) من المحلول. ترك المزيج لعملية التصعيد الارجاعي لمدة 3 ساعات، برد المزيج ورشح ثم بخر المذيب تحت ضغط مخلل، معطيا راسباً (اصفر اللون) داكناً كثيف القوام بوزن (1.59 g) وبنسبة (71.62%). [9]

تحضير الامين الثنوي [10]

تم تحضير المركب (2,2'-(ethane-1,2-diylbis(azanediyl)) bis(methylene)) diphenol من خلال اذابة (0.75g, 2.79 mmol) من قاعدة شف المحضرة انفا والمذابة في (40 ml) من مزيج dichloromethane/methanol وبنسبة (1:3)، ثم اضيف (0.51 g, 13.48mmol) من NaBH₄ من المحلول، ترك المزيج للتحريك لمدة 12 ساعة، تم فصل الطبقة العضوية بإضافة الماء الى الخليط المضاف له dichloro methan وتم غسل الطبقة العضوية بالماء اربع مرات بنسبة (4 x 50 ml) ثم جفت بواسطة MgSO₄ ، رشح الخليط وبخر تحت ضغط مخلل، تم الحصول على راسباً (ابيض اللون) بوزن (0.63g) وبنسبة (83.22%).

تحضير الليكائد [10]

حضر الليكائد potassium ethane-1,2-diylbis (2- hydroxybenzyl) carbamodithioate من خلال اذابة (0.40g, 1.47mmol) من الامين الثنوي المحضر انفا في (35 ml) من Ethanol، والمضاف له (0.32g, 5.71mmol) من KOH المذابة في 3 ml CS₂ ترك للتحريك المستمر لمدة 15 دقيقة بعدها برد المحلول في حمام تلجي لإضافة (0.44ml, 7.28 mmol) من CS₂ ترك للتحريك المستمر لمدة ساعتين ليعطي راسباً ملح الدياثيوكاربimid المتكون بعد ترشيحه وغسله بواسطة الميثنول والايثر ثم تجفيفه تحت ضغط مخلل ليعطي راسباً ابيض اللون بوزن (0.55g) وبنسبة (75.34 %).

الطريقة العامة لتحضير المعدات الحلقية الكبيرة [11]

تم تحضير المعدات من اضافة ملح ثلائي ثايوهوكاربimid البوتاسيوم (K DTC) الى محلول كلوريد الفلز الانتقالى [Mn^{II}, Fe^{II}, Co^{II}, Ni^{II}, Cu^{II}, Zn^{II}] وبنسبة (1:1). تم تحريك الخليط المحتوى على ملح الليكائد والفلز وما تحتويه من مذيبات لمدة 3 ساعات، ويضاف الماء المقطر إذا لزم الأمر لإكمال الترسيب. فتم الحصول على راسباً رشح وغسل بالمذيب ثم جفف ليعطي معدات باللون مختلفة حسب نوع الفلز ليعطي المعد المعد الحلقى (macrocyclic).

فعالية الليكائدات في الانظمة البيئية

تم اخذ نموذج من مياه الفضلات الصناعية من الشركة العامة للصناعات النحاسية والبلاستيكية في منشأ (عامرية الفلوحة)، حيث تم نقل نموذج من المياه الملوثة للمختبر لغرض تهيئتها لقياس العناصر الثقيلة فيها من خلال تقنية الامتصاص الذري، تم قياس هذه العناصر من خلال مقياس مطياف الامتصاص الذري في مركز بحوث السوق وحماية المستهلك في جامعة بغداد. وبعد انتهاء القياسات تبين ان تركيز عنصر الحديد (Fe = 30.3440 ppm) وتركيز عنصر النحاس (Cu = 5.5479 ppm)

اقتراض العناصر الثقيلة بواسطة الليكائد المحضر [12]

تم اذابة (0.10g, 0.2 mmol) من الليكائد المحضر potassium ethane-1,2-diylbis (2- hydroxybenzyl) carbamodithioate في 5 ml من الايثانول المطلق، وأضيف تدريجيا الى (30 ml) من الماء الذي يحتوى على العناصر الثقيلة في وسط قاعدي KOH، وبعد انتهاء وقت التفاعل تم ترك المزيج لمدة ساعة حيث لوحظ تكون راسباً، رشح الراسبا وجفف. تم اخذ عينة من المحلول وقيس لها مرة ثانية طيف الامتصاص الذري، تبين انخفاض في تركيز ايون الحديد الى (Fe = 0.4139 ppm وبنسبة انخفاض (98.63 %)، اما بالنسبة لأيون النحاس قد انخفض تركيزه الى (Cu = 0.1897 PPm) وبنسبة (96.58 %). والتي يمكن حساب النسب المئوية للإزالة من خلال المعادلة الآتية:

$$E (\%) = \frac{C_0 - C_t}{C_0} \times 100$$

$E(\%)$: النسبة المئوية للاقتاص
 C_0 : التركيز الاولى لكل من ايوني الحديد او النحاس
 C_t : التركيز النهائي لكل من ايوني الحديد او النحاس

القياسات الفيزيائية

تم تشخيص المركبات المحضرة من خلال قياس نقطة انصهار المركبات باستخدام Model:DMP-، Artist of science 500، أطيف الاشعة تحت الحمراء ضمن المدى (400 - 4000 سـ⁻¹) على شكل اقراص بروميد البوتاسيوم KBr. قياسات التوصيلية الكهربائية للمعقدات المذابة في ثنائي مثيل سلفوكسيد (DMSO) ودرجة حرارة الغرفة ، بتركيز M⁻³ 10 باستخدام الجهاز Starter 3100C Ohaus كما موضح في الجدول 1. فضلا عن قياس الأطيف الإلكترونية للمركبات العضوية وللمعقدات الفلزية المذابة في DMSO من 200 - 1100 في درجة حرارة الغرفة مع طيف (UV-Vis) باستخدام جهاز 400.77 400.13 MHz JASCO V- 650 ، تم تسجيل أطيف الرنين المغناطيسي النووي من كاربون وبروتون بواسطة جهاز بروكير عند التردد Balance Magnetic 400.77 400.13 MHz ، وتم قياس الحساسية المغناطيسية للمعقدات باستعمال الجهاز Susceptibility Model - M.S.B Auto : (Type=AA) ، علاوة على قياس مطيافية الامتصاص الذري ذات المواصفات (Model Name=AA-7000) ، (Rom Version=1.01)، (S/N=A30664700442) لعملية اقتاص الليكائد للفلزات.

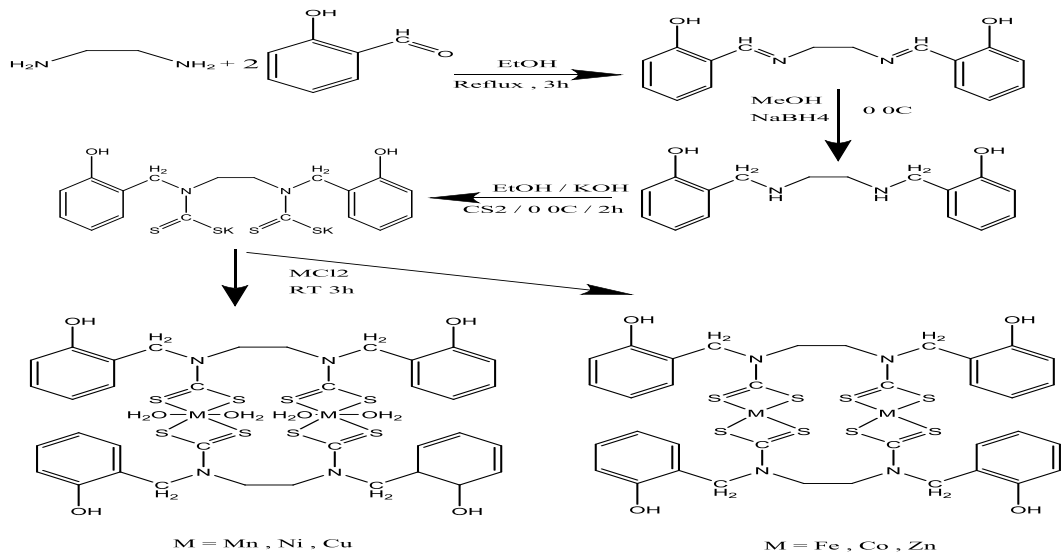
الجدول 1: الصيغة الكيميائية وبعض الخواص الفيزيائية للمعقدات المحضرة.

النسبة المئوية للناتج %	التركيز المولاري (M ⁰)	درجة الانصهار (M ⁻¹ . اوم ⁻²)	اللون	الصيغة الكيميائية	مسلسل المعد
75.34%	-----	206-209	ابيض	C ₁₈ H ₁₈ K ₂ N ₂ O ₂ S ₄	L
67.10%	11.86	over 300	بني داكن	[Mn(L)(H ₂ O) ₂] ₂	1
65.78%	2.14	282*	احمر داكن	[Fe(L)] ₂	2
77.63%	7.23	over 300	اخضر داكن	[Co(L)] ₂	3
71.05%	12.51	198-201	اخضر	[Ni(L)(H ₂ O) ₂] ₂	4
84.41%	9.37	192-194	احمر داكن	[Cu(L)(H ₂ O) ₂] ₂	5
62.33%	5.78	202-204	ابيض	[Zn(L)] ₂	6

النتائج والمناقشة

تحضير وتشخيص المركبات العضوية والمعقدات الفلزية

تم تحضير المركبات العضوية (قاعدة شف)، (الامين الثنائي) و (ملح الليكائد) ، اذ تضمنت عملية تحضير قاعدة شف من خلال التفاعل ما بين الامين الاولى والادينهايد (السالسلديهايد) بوجود مذيب الايثانول، بعد ذلك تم اذابة قاعدة شف في مذيب الميثانول وداي كلورو ميثان ومعاملتها بإضافة NaBH₄ ليعطي الامين الثنائي ، وبعد اذابة الامين الثنائي تم اضافة ثنائي كبريتيد الكاربون (CS₂) وهيدروكسيد البوتاسيوم (KOH) حيث تكون ملح الليكائد . ونتج عن التفاعل ما بين 2,2'-ethane-1,2-diylbis(azanediyl) bis(methylene)diphenol وثنائي كبريتيد الكاربون (CS₂) بوجود KOH اعطاء ملح الليكائد وبنسبة جيدة ، اما المعقدات الحلقة فتم تحضيرها من تفاعل ملح الليكائد مع كلوريد الفلز وبنسبة 1:1 . في هذه الطريقة يلعب ايون الفلز دورا بارزا في عملية التجميع الذاتي للمعقدات الحلقة ثنائية النواة والتي اعطت صيغتين عامة وهي الشكل رباعي السطوح والشكل ثمانى السطوح كما في المخطط 1. شخصت المركبات المحضرة بواسطة قياس درجات الانصهار ، مطيافية الاشعة تحت الحمراء ، الاشعة فوق البنفسجية. المرئية، التوصيلية الكهربائية المولارية، القياسات المغناطيسية، اطيف الرنين النووي المغناطيسي ومطيافية الكتلة .



المخطط 1: طريقة تحضير المعقادات الحلقيّة الكبيرة

طيف الأشعة تحت الحمراء IR

طيف الأشعة تحت الحمراء (FTIR) التابع لقاعدة الشف موضح في الجدول 2. حيث تتم مقارنة هذا الطيف مع كل من طيف الامين الاولى (ethane-1,2-diamine) وطيف (2-hydroxybenzaldehyde) طيف الشف. في طيف الاشعة (FTIR) الخاص بقاعدة شف لا يظهر اي حزمة امتصاص عند 3303 cm^{-1} والتي تعود للأصارة (NH_2) مقارنة بالطيف الملاحظ في طيف الامين الاولى حيث اظهر تردد اصارة (NH_2) عند 3303cm^{-1} امتصاص (C=O) لا يظهر الطيف اي امتصاص حول التردد (1689 cm^{-1}) التي تعود الى الاصارة (C=O) العائدة الى ذلك لا يظهر الطيف اي امتصاص حول التردد (1689 cm^{-1}) التي تعود الى الاصارة (C=O) عند (1689 cm^{-1}) . كذلك يشير طيف 2-hydroxybenzaldehyde مركب شف الى ظهور حزمة جديدة عند (1635 cm^{-1}) تعود الى C=N مما يدل على تحضير المركب الجديد [14].

الجدول 2: بيانات FTIR الطيفية لقاعدة شف

Compound	$\nu(\text{NH}_2)$	$\nu(\text{C=O})$	$\nu(\text{C=N})$
ethane-1,2-diamine	3303	-	-
2-hydroxybenzaldehyde	-	1689	-
Schiff base	-	-	1635

اما بالنسبة للأمين الثنائي لوحظ اختفاء التردد (1635cm^{-1}) التابع للأصارة (C=N) [15]. وتبين ظهور حزمة امتصاص جديدة عند التردد (3286cm^{-1}) التابع لامتطاط الاصرة (N-H). وتبين ظهور حزمة امتصاص جديدة عند التردد (3286cm^{-1}) التابع لامتطاط الاصرة (N-H). واظهر الطيف حزمة امتصاص عند (1257cm^{-1}) التابع لامتطاط الاصرة (C-C). ويتضمن الجدول 3 تعين قمم FTIR الظاهرة. [14] N

الجدول 3: بيانات FTIR الطيفية للأمين الثنائي

Compound	$\nu(\text{C=M})$	$\nu(\text{C-O})$	$\nu(\text{C-N})$
Schiff base	1635	-	-
Secondary amine	3286	1257	

اظهر طيف الأشعة تحت الحمراء لليكائد حزم امتصاص عند (1315 cm^{-1}) تعود للأصارة (C-N) ، واظهر الطيف حزم امتصاص عند (1149 cm^{-1}) تعود للأصارة (C-S) ، كذلك عند (975 cm^{-1}) $\nu_{\text{s}}(\text{C-S})$ عائده للأصارة (C-S) [17]، فضلا عن ظهور حزمة امتصاص عند (1492 cm^{-1}) والتي تعود للأصارة (N-CS_2) [18]. اما فيما يخص المعقادات ظهرت لها حزم قوية في المدى $(1492-1446\text{ cm}^{-1})$ تعود إلى امتطاط الاصرة (N-CS_2) مقارنة بالتردد عند (1492 cm^{-1})

التابعة لنفس الاصرة في الليكанд [18]. حزمة الامتصاص للاصرة ($\nu_{as}(CS_2)$) في الليكанд ظهرت عند (1149 cm^{-1})، وبالمقابل تردد الاصرة ($\nu_{as}(CS_2)$) اختلفت في المعدات من واحد إلى آخر . اما بالنسبة لحزمة الامتصاص عند (975 cm^{-1}) المتواجدة في الليكанд ، تشير إلى امتطاط الاصرة ($\nu_s(CS_2)$) اذ اختلفت هذه الاصرة بموقعها وشكلها في المعدات المتباينة لتعطي الحزم ($933\text{-}1006\text{ cm}^{-1}$) ان هذا الاختلاف بالموقع والشكل دلالة على تناسق ذرة الفلز مع الكبريت [19] وظهرت في المعدات حزم امتصاص جديدة تعود الى الاصرة ($\nu(M-S)$) وهي (462 cm^{-1} v Mn-S) (439 cm^{-1} v Fe-S) ، (428 cm^{-1} v Cu-S) (455 cm^{-1} v Zn-S) (428 cm^{-1} v Ni-S)، [20] وكما موضح في الجدول 4

الجدول 4: اطيف الاشعة تحت الحمراء للليكанд والمعقدات المحضره cm^{-1}

Comp	$\nu(N-CS_2)$	$\nu(C-N)$	$\nu_{as,s}(CS_2)$	$\nu (M-S)$
L	1492	1315	1149,975	-
$[\text{Mn}(\text{L})(\text{H}_2\text{O})_2]_2$	1446	1292	1149,1006	462
$[\text{Fe}(\text{L}_1)]_2$	1481	1269	1103,933	439
$[\text{Co}(\text{L}_1)]_2$	1481	1357	1149,999	428
$[\text{Ni}(\text{L}_1)(\text{H}_2\text{O})_2]_2$	1492	1307	1157,999	439
$[\text{Cu}(\text{L}_1)(\text{H}_2\text{O})_2]_2$	1482	1354	1180,975	428
$[\text{Zn}(\text{L}_1)]_2$	1485	1365	1153,952	455

مطيافية الكتلة

اظهر طيف الكتلة لقاعدة شف قمة عند m/z 268 والتي تعود للأيون الجزيئي الاساسي للمركب ($C_{16}\text{H}_{16}\text{N}_2\text{O}_2$)، القمة عند m/z 237 تعود للمركب ($C_{16}\text{H}_{16}\text{N}_2$)، القمة m/z 148 تعود للمركب ($C_9\text{H}_{12}\text{N}_2$)، القمة عند m/z 134 تعود للمركب ($C_9\text{H}_{11}\text{N}$)، القمة m/z 120 تعود للمركب ($C_8\text{H}_9\text{N}$). اما بالنسبة للأمين الثنوي اظهر طيف الكتلة قمة عند 272.1 m/z التي تعود للأيون الجزيئي الاساس ($C_{16}\text{H}_{20}\text{N}_2\text{O}_2$)، القمة m/z 236.2 m/z التي تعود للأيون الجزيئي الاساس ($C_{16}\text{H}_{20}\text{N}_2\text{O}_2$)، القمة m/z 256.1 m/z تعود للمركب ($C_{16}\text{H}_{20}\text{N}_2\text{O}$)، القمة m/z 213.2 m/z تعود للمركب ($C_{14}\text{H}_{16}\text{N}_2$)، القمة m/z 136 m/z تعود للمركب ($C_{16}\text{H}_{16}\text{N}_2$)، القمة m/z 522 m/z والتي تعود للأيون الجزيئي الاساسي ($C_8\text{H}_{12}\text{N}_2$). بالنسبة لملح الليكанд اظهر طيف الكتلة قمة عند m/z 467.4 m/z ولعنصر الصوديوم الذي حل محل الهيدروجين نتيجة اضافة NaBH_4 ، القمة m/z 313.3 m/z تعود للمركب ($C_{18}\text{H}_{17}\text{K}_2\text{N}_2\text{NaO}_2\text{S}_4$) ($C_{11}\text{H}_{17}\text{KN}_2\text{S}_3$)، القمة m/z 272.1 m/z تعود للمركب ($C_8\text{H}_{13}\text{KN}_2\text{S}_3$) ، القمة m/z 257.1 m/z تعود للمركب ($C_7\text{H}_9\text{KN}_2\text{S}_3$) .

اطيف الاشعة فوق البنفسجية - المرئية

اظهرت اطيف UV-Vis لمعقد المغنيز قمم امتصاص عند (260) نانومتر، (38461) سـ⁻¹، والقمة عند (294) نانومتر، (34013) سـ⁻¹، واللتان تعودان للانتقال $\pi \rightarrow \pi^*$ [21] ، والقمة عند (412) نانومتر، (24271) سـ⁻¹، والتي تعود الى (4G) ذات الانتقال الالكتروني من نوع d-d التي تعود للانتقال $^{6}\text{A}_1\text{g} \rightarrow ^4\text{T}_1\text{g}$ (13495) سـ⁻¹، ذات الانتقال $^{4}\text{T}_1\text{g} \rightarrow ^4\text{E}_g$ (4P) [22]. اما معقد الحديد فظهرت قمة امتصاص عند (260) نانومتر، (38461) سـ⁻¹، والتي تعود للانتقالات $\pi \rightarrow \pi^*$ [23] ، والقمة عند (559) نانومتر، (17889) سـ⁻¹، ذات الانتقال الالكتروني من نوع d-d والتي تعود للانتقال الى الشكل ثماني السطوح[24]. بما يخص معقد الكوبالت فظهرت قمة عند (259) نانومتر، (38610) سـ⁻¹ والتي تعود للانتقال $\pi \rightarrow \pi^*$ ، وقمة عند (415) نانومتر، (24096) سـ⁻¹ والتي تعود لانتقال الشحنة بين الليكанд والفلز، كما ظهرت قمة عند (633) نانومتر، (15797) سـ⁻¹ والتي تعود للانتقال $^{4}\text{T}_1 \rightarrow ^4\text{T}_2, ^4\text{A}_2$ [24] ويعزى هذا الانتقال الى الشكل رباعي السطوح [24]. اما بما يخص معقد النikel فظهرت قمة عند (261) نانومتر، (38314) سـ⁻¹ وقمة عند (292) نانومتر، (34246) سـ⁻¹ واللتان تعودان للانتقال $\pi \rightarrow \pi^*$ [21] ، وظهرت قمة عند (440) نانومتر، (22727) سـ⁻¹ والتي تعود للانتقال $^{3}\text{A}_{2g} \rightarrow ^3\text{T}_{1g(p)}$ [25] ، وقمة عند (559) نانومتر ، (17889) سـ⁻¹ والتي تعود للانتقال $^{3}\text{A}_{2g} \rightarrow ^3\text{T}_{1g(F)}$ ويعزى هذا الانتقال الى الشكل ثماني السطوح [25] ، بما يتعلق بمعقد النحاس ظهرت قمة عند (260) نانومتر ، (38461) سـ⁻¹ ، والتي تعود للانتقال $\pi \rightarrow \pi^*$ ، وظهرت قمة عند (400) نانومتر، (25000) سـ⁻¹، وقمة عند (423) نانومتر، (23640) سـ⁻¹، واللتان تعودان للانتقال (C.T) [21]، وقمة عند (741) نانومتر ، (13495) سـ⁻¹ والتي تعود للانتقال $^{2}\text{E}_g \rightarrow ^2\text{T}_{2g}$ ويعزى هذا الانتقال الى الشكل ثماني السطوح [22] . اما بما يخص معقد الزنك فظهرت قمة عند (252) نانومتر، (39682) سـ⁻¹، وظهرت قمة عند (272) نانومتر ، (36764) سـ⁻¹، وظهرت قمة عند (295) نانومتر ،

(33898) سم⁻¹ التي تعود للانتقالات *π→π*، وقمة عند (371) نانومتر، (26954) سم⁻¹ والتي تعود إلى C.T يعزى الانقال الى الشكل رباعي السطوح [21]. كما هو موضح في الجدول 5.

الحساسية المغناطيسية

بينت النتائج إن قياسات الحساسية المغناطيسية لمعقد المنغنيز (II) كانت $M_{eff}=1.98 \text{ B.M}$ دلالة على امتلاك الصفة البارا مغناطيسية والتي توضح ان معقد المنغنيز (II) هو معقد ذو برم واطيء وأن الشكل المقترن للمعقد هو ثماني السطوح وذلك لوجود الكترون واحد منفرد في غلاف 3d وأن تهجين الذرة المركزية لأيون المنغنيز الثنائي التكافؤ هو d^2sp^3 حيث يمكن تصنيفه من معقدات الأوربيتال الداخلي [26]. اما معقدي الحديد (II) والكوبالت (II) فيمتلكان عزوماً مغناطيسية عند ($\mu_{eff}=5.42 \text{ B.M}$) على التوالي دلالة على امتلاك الصفة البارا مغناطيسية والتي تبين ان البرم عالي وان الشكل المقترن هو رباعي السطوح لكلا المعقددين وذلك لامتلاك معقد الحديد اربعه الكترونات منفردة في غلاف 3d ، وثلاثة الكترونات منفردة لمعقد الكوبالت في غلاف 3d وبالتالي فان تهجين الذرة المركزية للمعقددين هو sp^3 [23]. اما بالنسبة لمعقد النيكل فإن قيمة العزم المغناطيسي عنده تساوي ($\mu_{eff}=3.18 \text{ B.M}$) دلالة على وجود صفة البارا مغناطيسية والتي توضح ان معقد النيكل (II) هو معقد ذات برم عالي وان الشكل المقترن للمعقد هو ثماني السطوح كون ان الغلاف 3d يمتلك الكترونين منفردة وان تهجين الذرة المركزية لأيون النيكل ثنائي التكافؤ هو sp^3d^2 وهو من معقدات الاوربتال الخارجي [25]. بما يخص معقد النحاس اظهرت نتائج القياسات بان له عزماً مغناطيسياً يساوي ($\mu_{eff}=1.94 \text{ B.M}$) وهي من الدلائل لصفة البارا مغناطيسية والتي توضح ان المعقد ذات برم واطيء ان الشكل المقترن للمعقد هو ثماني السطوح وذلك لامتلاك الاوربتال 3d على الكترون منفرد واحد وان تهجين الذرة المركزية لأيون النحاس ثنائي التكافؤ هو sp^3d^2 [22].اما بالنسبة لمعقد الزنك فان قيمة العزم المغناطيسي هي اقل من الواحد وبالتالي فهي تمثل صفة الديايا مغناطيسية ، اذ ان الشكل المقترن للمعقد هو رباعي السطوح وان التهجين الخاص لأيون الزنك الثنائي هو sp^3 [27]. كما هو موضح في الجدول 5.

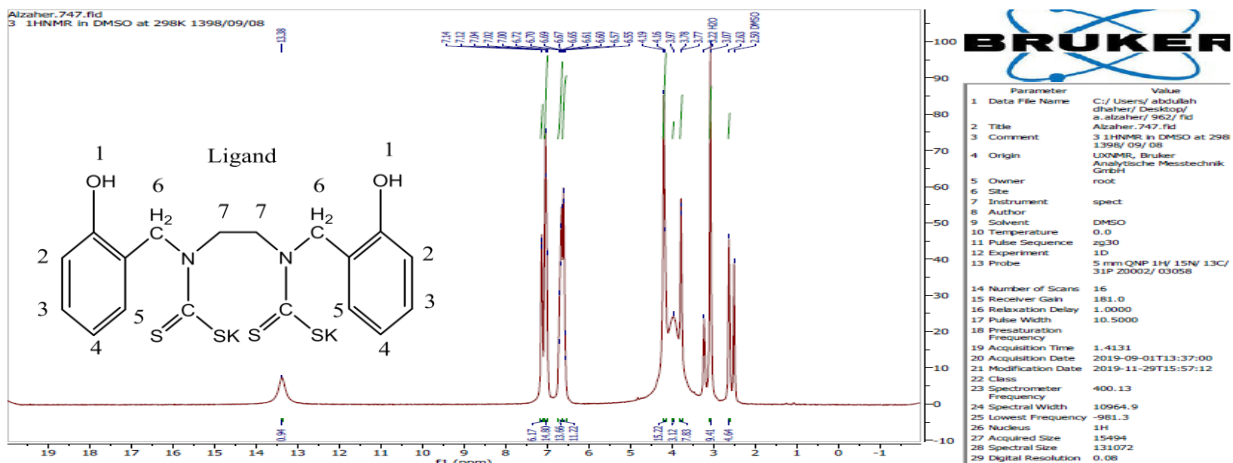
الجدول 5: يوضح الاطياف الالكترونية والقيم المغناطيسية للمعقدات المحضرة.

النوع	المعقد	$\mu_{eff.}(\text{B.M})$	الاطياف الالكترونية	الهيئه
1	[Mn(L)(H ₂ O) ₂] ₂	1.98	260 , 294 , 412 , 741	octahedral
2	[Fe(L ₁)] ₂	5.42	260 , 559	tetrahedral
3	[Co(L ₁)] ₂	4.67	259 , 633	tetrahedral
4	[Ni(L ₁)(H ₂ O) ₂] ₂	3.18	261 , 292 , 440 , 559	octahedral
5	[Cu(L ₁)(H ₂ O) ₂] ₂	1.94	260 , 400 , 423 , 741	octahedral
6	[Zn(L ₁)] ₂	diamagnetic	252 , 272 , 295 , 371	tetrahedral

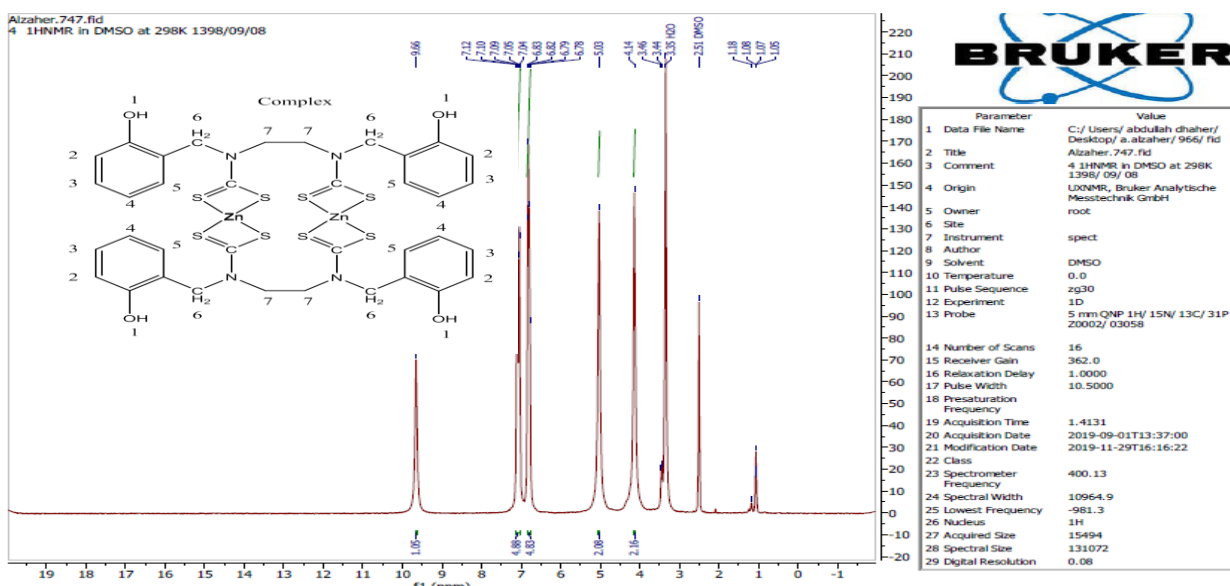
طيف بروتون الرنين النووي المغناطيسي ¹H-NMR

اظهر طيف ¹H-NMR لليكاند اشاره عند الإزاحة الكيميائية (2H,s) $\delta=13.38 \text{ ppm}$ تعود للبروتونات (O-H). الحزم الظاهرة من $\delta=7.14 \text{ ppm}$ الى $\delta=6.55 \text{ ppm}$ تعود الى بروتونات الحلقة الاروماتية (H-C_{2,2}-C_{3,3}-C_{4,4}-C_{5,5}-H). الحزمة عند الإزاحة الكيميائية $\delta=4.19 \text{ ppm}$ (2H) تعود الى (H-C_{6,6}-H) هذه الإزاحة تعود الى البروتونات اليمينية . (H-C=N) الحزمة الظاهرة عند الإزاحة الكيميائية $\delta=3.77 \text{ ppm}$ (2H) تعود الى (H-C_{7,7}-H). الإزاحة عند الإزاحة الكيميائية $\delta=3.22 \text{ ppm}$ تعود الى المياه المتبقية، والحزمة الظاهرة عند الإزاحة الكيميائية $\delta=2.50 \text{ ppm}$ فهي بسبب بقايا بروتونات المذيب d_6 DMSO [28] كما في الشكل 1.

اما بالنسبة لمعقد الزنك فقد اظهر حزمة عند الإزاحة الكيميائية عند $\delta=9.66 \text{ ppm}$ (4H,s) تعود للبروتونات (O-H)، بينما الحزم الكيميائية من $\delta=7.12 \text{ ppm}$ الى $\delta=6.78 \text{ ppm}$ (16H) تعود الى بروتونات الحلقة الاروماتية (-C_{2,2}-C_{3,3}-C_{4,4}-C_{5,5}-H). الإزاحة الكيميائية عند $\delta=5.03 \text{ ppm}$ (4H) تعود الى (H-C_{6,6}-H) هذه الإزاحة تعود الى البروتونات اليمينية (H-C=N). الحزمة الظاهرة عند الإزاحة الكيميائية $\delta=4.14 \text{ ppm}$ (4H) تعود الى (H-C_{7,7}-H).الحزمة عند الإزاحة الكيميائية $\delta=3.35 \text{ ppm}$ تعود الى المياه المتبقية، والحزمة الظاهرة عند الإزاحة الكيميائية $\delta=2.51 \text{ ppm}$ فهي بسبب بقايا بروتونات المذيب d_6 DMSO [29] كما في الشكل 2.



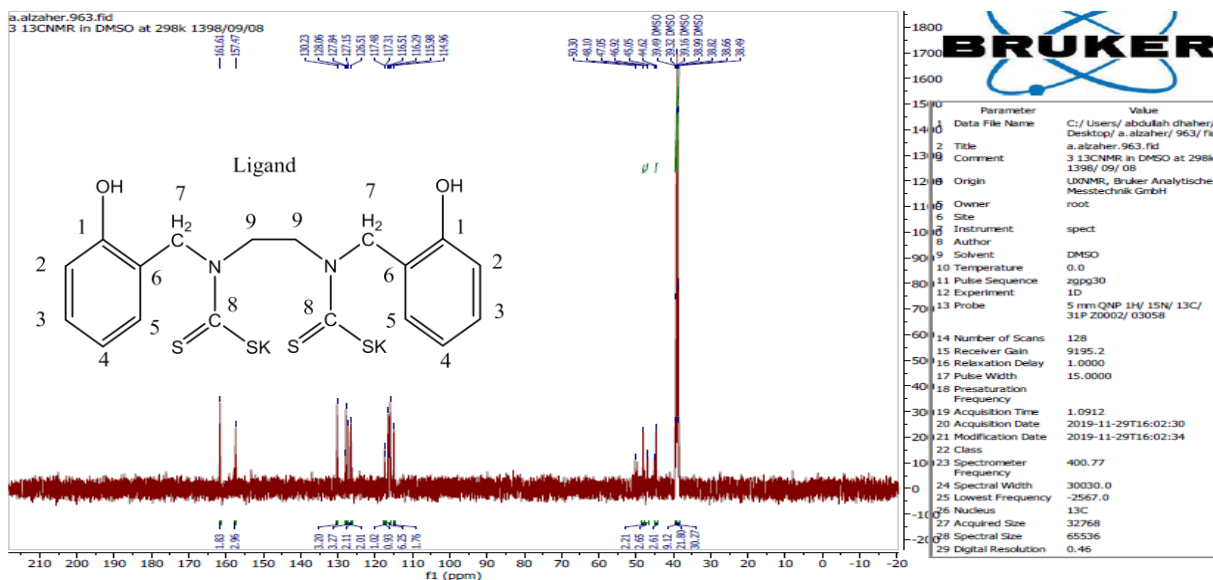
الشكل 1: طيف بروتون الرنين النووي المغناطيسي (^1H -NMR) لملح الليكائد



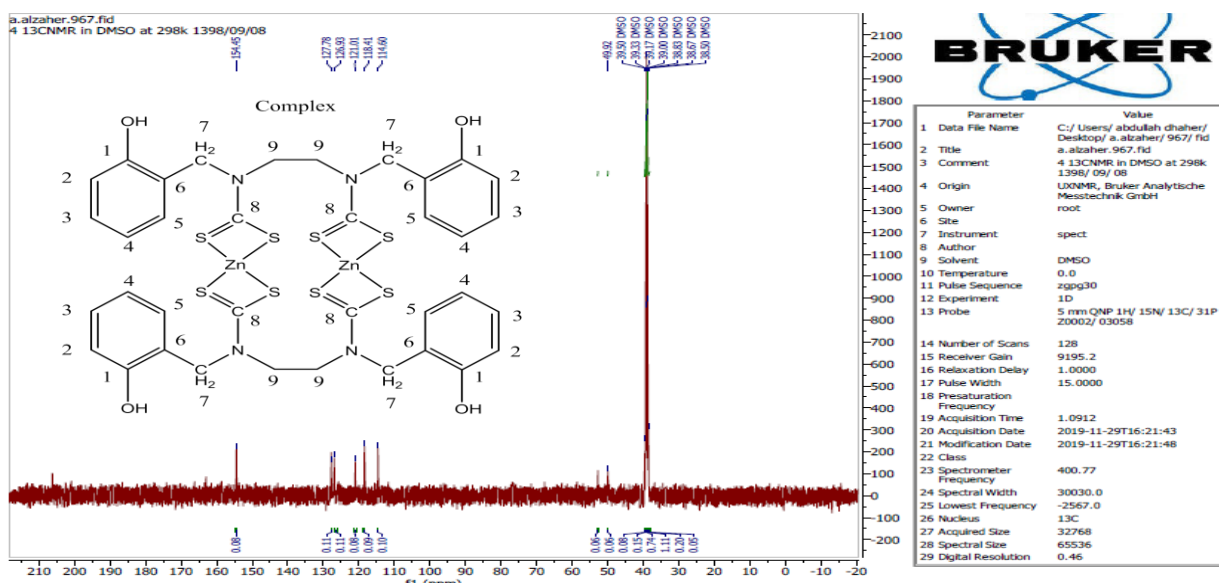
الشكل 2: طيف بروتون الرنين النووي المغناطيسي (^1H -NMR) لمعقد الزنك

طيف كربون الرنين النووي المغناطيسي ^{13}C -NMR

طيف ^{13}C -NMR للليكائد أظهر مجموعة من الحزم المتعلقة بالحلقة الاروماتية من الازاحة الكيميائية $\delta=157.47 \text{ ppm}$ إلى $\delta=114.96 \text{ ppm}$ (12C) تعود إلى كاربونات الحلقة الاروماتية ($\text{C}_6,6$ - $\text{C}_{1,1}$ - $\text{C}_{2,2}$ - $\text{C}_{3,3}$ - $\text{C}_{4,4}$ - $\text{C}_{5,5}$). بينما الازاحة الكيميائية عند $\delta=50.30 \text{ ppm}$ (2C) تعود إلى ($\text{C}9,9$). الازاحة الكيميائية عند $\delta=48.10 \text{ ppm}$ (2C) تعود إلى ($\text{C}7,7$). هذه الإزاحة تعود إلى الكاربونات الایمینية ($\text{H}-\text{C}=\text{N}$). والإشارة عند الازاحة الكيميائية $\delta=39.49 \text{ ppm}$ (2C) هي بسبب بقايا المذيب DMSO-d_6 [30]. ولم يظهر الشكل 3 تردد كarbon $\text{C}=\text{S}$ وذلك قد يكون موقعها خارج السكيل، اما بالنسبة لمعقد الزنك اظهر الطيف حزمة عند الازاحة الكيميائية عند $\delta=205.32 \text{ ppm}$ (4C) تعود إلى مجموعة NCS_2 ($\text{C}8,8$). بينما الازاحة الكيميائية من $\delta=154.45 \text{ ppm}$ (24C) تعود إلى ذرات الكاربون في الحلقة الاروماتية ($\text{C}_{6,6}$ - $\text{C}_{1,1}$ - $\text{C}_{2,2}$ - $\text{C}_{3,3}$ - $\text{C}_{4,4}$ - $\text{C}_{5,5}$). الازاحة الكيميائية عند $\delta=51.75 \text{ ppm}$ (4C) تعود إلى ذرة ($\text{C}9,9$). الازاحة الكيميائية عند $\delta=49.92 \text{ ppm}$ (4C) تعود إلى ذرة ($\text{C}7,7$). هذه الإزاحة تعود إلى الكاربونات الایمینية ($\text{H}-\text{C}=\text{N}$ ، $\text{C}=\text{S}$). الاشارة عند الازاحة الكيميائية $\delta=39.50 \text{ ppm}$ (2C) تعود إلى بقايا المذيب DMSO-d_6 [31] كما في الشكل 4.



الشكل 3: طيف كarbon الرنين النووي المغناطيسي (^{13}C -NMR) لملح الليكанд



الشكل 4: طيف كarbon الرنين النووي المغناطيسي (^{13}C -NMR) لمعقد الزنك

الامتصاص الذري لاقتناص العنصر الثقيلة

اجري تحليل الامتصاص الذري للماء الذي يحتوي على عناصر الحديد والنحاس بعد اضافة الليكанд واظهرت النتائج ان تركيز الحديد قد انخفض الى $\text{Fe} = 0.4139 \text{ ppm}$ بعدما كان تركيزه قبل اضافة الليكанд هو $\text{Fe} = 30.3440 \text{ ppm}$ ، اما بالنسبة لتركيز النحاس قد انخفض الى $\text{Cu} = 0.1897 \text{ ppm}$ بعد ان كان تركيزه قبل اضافة الليكанд هو $\text{Cu} = 5.5479 \text{ ppm}$ وبالتالي فان النسبة المئوية لاقتناص عنصر الحديد حسب المعادلة التي ذكرت هي (98%)، والنسبة المئوية لاقتناص عنصر النحاس هي (96%)، وهذه دلالة واضحة على ان الليكанд المحضر قادر على اقتناص العناصر الفلزية وتكون المعقدات [12].

الاستنتاجات

من خلال تحضير وتشخيص الليكанд ومفاعنته مع ايونات فلزية واثبات الشكل الفراغي للمعقدات الناتجة من خلال القياسات الفيزيائية والكميائية تبين تكوين نوعين من الاشكال الفراغية هما رباعي وثمانى السطوح ومن خلال اثبات هذه الخاصية تم اقتناص الايونات الثقيلة مثل الحديد والنحاس من الاوساط المائية الملوثة على شكل راسب يمكن ازالته.

References

1. Ghaffar, A., Khan, N., Samiullah, I. A., Akbar, A., Attiq-ur-Rehman, W. A. S., and Abdul Baqi, S. (2019). 67. Biological and electronic transition studies of the previously reported organotin (IV) dithiocarbamates of p-Fluoro-Nmethylbenzylaminedithiocarbamate. *Pure and Applied Biology (PAB)*, 8(1), 672-679.
2. El-Samanody, E. S. A., El-Sawaf, A. K., and Madkour, M. (2019). Synthesis, crystal structure, spectral and thermal investigations of morpholinylidithiocarbamate complexes: A novel coordinated precursors for efficient metal oxide nanophotocatalysts. *Inorganica Chimica Acta*, 487, 307-315.
3. Andrew, F. P., and Ajibade, P. A. (2019). Synthesis, characterization, and electrochemical studies of Co (II, III) dithiocarbamate complexes. *Journal of Coordination Chemistry*, 72(5-7), 1171-1186.
4. Roffey, A., Hollingsworth, N., and Hogarth, G. (2019). Synthesis of ternary sulfide nanomaterials using dithiocarbamate complexes as single source precursors. *Nanoscale Advances*, 1(8), 3056-3066.
5. Zeng, N., Hopkinson, D. G., Spencer, B. F., McAdams, S. G., Tedstone, A. A., Haigh, S. J., and Lewis, D. J. (2019). Direct synthesis of MoS₂ or MoO₃ via thermolysis of a dialkyl dithiocarbamato molybdenum (iv) complex. *Chemical communications*, 55(1), 99-102.
6. Zeng, N., Hopkinson, D. G., Spencer, B. F., McAdams, S. G., Tedstone, A. A., Haigh, S. J., and Lewis, D. J. (2019). Direct synthesis of MoS₂ or MoO₃ via thermolysis of a dialkyl dithiocarbamato molybdenum (iv) complex. *Chemical communications*, 55(1), 99-102.
7. Andrew, F. P., and Ajibade, P. A. (2019). Synthesis, characterization, and electrochemical studies of Co (II, III) dithiocarbamate complexes. *Journal of Coordination Chemistry*, 72(5-7), 1171-1186.
8. Cheng, R., Xiang, B., Li, Y., and Zhang, M. (2011). Application of dithiocarbamate-modified starch for dyes removal from aqueous solutions. *Journal of hazardous materials*, 188(1-3), 254-260.
9. Takii, T., Onozaki, K., Mori, M., Kuroishi, R., Ito, S., Chiba, T., ... and Horita, Y. (2012). *The potential therapeutic usage of dithiocarbamate sugar derivatives for multi-drug resistant tuberculosis*. INTECH Open Access Publisher.
10. Santos, P. M., Simões, T., and Sá-Correia, I. (2009). Insights into yeast adaptive response to the agricultural fungicide mancozeb: a toxicoproteomics approach. *Proteomics*, 9(3), 657-670.
11. Selvaganapathi, P., Thirumaran, S., and Ciattini, S. (2019). Synthesis, spectra, crystal structures and anticancer studies of 26-membered macrocyclic dibutyltin (IV) dithiocarbamate complexes: Single-source precursors for tin sulfide nanoparticles. *Applied Organometallic Chemistry*, 33(9), e5089.
12. Pratt, M. D., and Beer, P. D. (2004). Heterodinuclear ruthenium (II) bipyridyl-transition metal dithiocarbamate macrocycles for anion recognition and sensing. *Tetrahedron*, 60(49), 11227-11238.

13. Ibrahim, A. B., Farh, M. K., Santos, I. C., and Paulo, A. (2019). Nickel Complexes Bearing SNN and SS Donor Atom Ligands: Synthesis, Structural Characterization and Biological activity. *Applied Organometallic Chemistry*, 33(9), e5088.
14. Jun, B. M., Her, N., Park, C. M., and Yoon, Y. (2020). Effective removal of Pb (ii) from synthetic wastewater using Ti₃C₂T_x MXene. *Environmental Science: Water Research and Technology*, 6(1), 173-180.
15. Yousif, E. I., Ahmed, R. M., Hasan, H. A., Al-Fahdawi, A. S., and Al-Jeboori, M. J. (2017). Metal Complexes of Heterocyclic Hydrazone Schiff-Bases: Preparation, Spectral Characterisation and Biological Study. *Iranian Journal of Science and Technology, Transactions A: Science*, 41(1), 103-109.
16. Al-Jiboury, M. M., and Al-Nama, K. S. (2019). Preparation, Characterization and Biological Activities of some Unsymmetrical Schiff Bases Derived from m-phenylenediamine and their Metal Complexes. *Rafidain journal of science*, 28(2E: Chem.), 23-36.
17. Kaczmarczyk, B. (2013). FTIR study of conjugation in selected aromatic polyazomethines. *Journal of Molecular Structure*, 1048, 179-184.
18. Nabipour, H., Ghammamy, S., Ashuri, S., and Aghbolagh, Z. S. (2010). Synthesis of a new dithiocarbamate compound and Study of Its biological properties. *J. Org. Chem*, 2, 75-80.
19. Al-Fahdawi, A. S., Al-Kafajy, H. A., Al-Jeboori, M. J., and Potgieter, H. (2014). New bimetallic bisdithiocarbamate-based macrocyclic complexes; Preparation and spectral characterization.
20. AL-OBAIDY, G. S., IBRAHEEM, K. R., and MESHER, M. F. (2020). Synthesis and Characterization of Some New Cu II, Co II, Ni II, Au III potassium 2-(2, 4-dinitrophenyl) Hydrazine-1-Carbodithioate Complexes and Evaluation of their Biological Activity. *International Journal of Pharmaceutical Research*, 12(1).
21. Hasan, H. A., Yousif, E. I., and Al-Jeboori, M. J. (2012). Metal-assisted assembly of dinuclear metal (II) dithiocarbamate Schiff-base macrocyclic complexes: Synthesis and biological studies. *Global J. Inorg. Chem*, 3(10), 1-7.
22. Beniwal, S., Kumar, A., Chhimpa, S., Rai, J., John, P. J., Singh, Y., and Sharma, J. (2019). Synthesis and characterization of antimony (III) heteroleptic derivatives having oxygen, nitrogen and sulfur containing organic moieties with their antibacterial and antioxidant activities. *Phosphorus, Sulfur, and Silicon and the Related Elements*, 194(9), 879-886.
23. Singh, V. K., Pillai, V., Patel, S. K., and Buch, L. (2019). Improving Cytotoxicity by Changing a Linker from Diphenylether to Diphenylmethane and now to Phenylene in Binuclear Dithiocarbamate Complexes: Synthesis and Cytotoxicity Study. *ChemistrySelect*, 4(29), 8689-8699.
24. Fayad, N. K., Al-Noor, T. H., Mahmood, A. A., and Malih, I. K. (2013). Synthesis, Characterization, and Antibacterial Studies of Mn (II), Fe (II), Co (II), Ni (II), Cu (II) and Cd (II) Mixed-Ligand Complexes Containing Amino Acid (L-Valine) And (1, 10-phenanthroline). *Synthesis*, 3(5).

25. Yousif, E., Muaiad, F., and Adil, H. (2011). Synthesis and characterization of Fe (II), Mn (II), Co (II), Hg (II) and Cr (III) complexes of (benzothiazol-2-ylsulfanyl)-acetic acid ligand. *Al-Nahrain Journal of Science*, 14(1), 44-49.
26. Maruthamuthu, P., and Ashokkumar, M. (1988). Doping effects of transition metal ions on the photosensitization of WO₃ particles. *Solar Energy Materials*, 17(6), 433-438.
27. Trávníček, Z., Pastorek, R., and Slovák, V. (2008). Novel octahedral nickel (II) dithiocarbamates with bi-or tetradentate N-donor ligands: X-ray structures of [Ni (Bzppzdtc)(phen) 2] ClO₄· CHCl₃ and [Ni (Bz2dtc) 2 (cyclam)]. *Polyhedron*, 27(1), 411-419.
28. Chantrell, R. W., and O'Grady, K. (1984). Magnetic moments. *Physics in Technology*, 15(2), 103.
29. Mohammed, L. A., Mahdi, N. I., and Aldujaili, R. A. B. (2020). Preparation, Characterization and The Biological Activity Study of A new heterocyclic (Azo-Schiff base) ligand and Their Complexation with {Co, Ni, Cu, Zn (II)} Ions. *Egyptian Journal of Chemistry*, 63(1), 289-300.
30. Al-Nassiry, A. I., Al-Janabi, A. S., Al-Janabi, T., Omer, Y., Spearman, P., and Alheety, M. A. (2019). Novel dithiocarbamate-Hg (II) complexes containing mixed ligands: synthesis, spectroscopic characterization, and H [sub] 2 storage capacity. *Journal of the Chinese Chemical Society*, Accepted.
31. Al-Jibori, S. A., Al-Jibori, A. R., Mohamad, H. A., Al-Janabi, A. S., Wagner, C., and Hogarth, G. (2019). Synthesis and reactivity towards amines of benzisothiazolinate-bridged paddlewheel dimers [M₂ (μ-bit) 4· 2H₂O](M= Mn, Co, Ni, Cu). *Inorganica Chimica Acta*, 488, 152-158.
32. Mangasuli, S. N., Hosamani, K. M., and Managutti, P. B. (2019). Synthesis of novel coumarin derivatives bearing dithiocarbamate moiety: An approach to microwave, molecular docking, Hirshfeld surface analysis, DFT studies and potent anti-microbial agents. *Journal of Molecular Structure*, 1195, 58-72.
33. Adeyemi, J. O., Onwudiwe, D. C., Ekennia, A. C., Okafor, S. N., and Hosten, E. C. (2019). Organotin (IV) N-butyl-N-phenyldithiocarbamate complexes: Synthesis, characterization, biological evaluation and molecular docking studies. *Journal of Molecular Structure*, 1192, 15-26.

Preparation and characterization of compounds for di thiocarbamate derivatives and their use as scavenger for some heavy metals in environmental systems

Salam Abdulbasit Abdullah^{1*}, Eman Abdulwahed Othman¹, Aeed Saleh Mohammed²

1- Department of Chemistry, College of Education, University of Samarra , Iraq (ssmmssmm124@gmail.com)

2- Department of Chemistry, College of education for girls, University of Anbar, Iraq (aeedchemistry@gmail.com)

Article Information

Received: 16/04/2020

Accepted: 15/06/2020

Keywords:

*Dithiocarbamate ligand,
Transition metal complexes,
Spectral characterization,
Scavenger Heavy Metals*

Abstract

The preparation, spectral characterization and Environmental assessment of a range of metal (II) dithiocarbamate-based complexes are reported. The free dithiocarbamate ligand has been prepared by the reaction of 2,2'-(ethane-1,2-diylbis(azanediyl)) bis (methylene) diphenol with CS₂ in with CS₂ in a ethanolic solution of KOH. Macroyclic complexes were prepared from the reaction of the metallic transient chlorides with the Dithiocarbamate ligand in an ethanolic medium. The suggested geometries around metal centers were determined using a range of spectroscopic techniques and physicochemical. These include; FTIR, UV-Vis, mass spectroscopy ¹³C,¹H-NMR, magnetic susceptibility measurement, melting point, and Electrical conductivity molar. The spectroscopic and analytical data revealed the formation of Macrocylic complexes of the first general formula [M(L)]₂, where M= Fe(II), Co(II), Zn(II), the complexes of these ions are adopt square planar geometries about the metal center and the second general formula [M(L)(H₂O)]₂, where M= Mn(II), Ni(II), Cu(II) indicated octahedral structures around metal center. This forbidden ligand has been used to remove the heavy polluting elements in the water.
